

پهنه بندی پتانسیل خطر فرسایش بادی منطقه خضرآباد یزد

محمد حسن صادقی روش^{۱*}، حسن خسروی^۲

۱- استادیار گروه مهندسی محیط زیست، دانشگاه آزاد اسلامی، واحد تاکستان
۲- استادیار گروه بیابانزدایی، دانشکده منابع طبیعی، دانشگاه تهران

پذیرش مقاله: ۱۳۹۳/۵/۲۶

تأیید نهایی مقاله: ۱۳۹۳/۶/۱۰

چکیده

از آنجا که پدیده‌های واقعی همواره فازی، نادقيق و مبهم هستند. آنچه در ارزیابی این پدیده‌ها مهم به نظر می‌رسد امتیازدهی صحیح شاخص‌ها به منظور دستیابی به نتایج قابل استناد می‌باشد. فرسایش بادی نیز به عنوان یک پدیده واقعی واجد شاخص‌هایی هست که ساختار کیفی یا ساختار نامشخصی دارند که نمی‌توانند به دقت اندازه‌گیری شوند. در چنین مواردی به منظور دستیابی به ماتریس ارزشیابی می‌توان از اعداد فازی استفاده کرد، لذا در این پژوهش با کمک تئوری فازی و تلفیق آن با روش‌های تصمیم‌گیری چند شاخصه اقدام به پهنه‌بندی ریسک فرسایش بادی شد. در ابتدا واحدهای کاری از روش ژئومرفولوژی تفکیک شد. سپس با توجه به وضعیت منطقه مطالعاتی، به بررسی نقش شش عامل مؤثر تغییرات ارتفاع، ژئومرفولوژی، حساسیت سنگ به فرسایش بادی، تیپ‌های خاک، پوشش گیاهی و کاربری اراضی پرداخته شد. این شاخص‌ها به وسیله گروه خبرگان ارزیابی و اهمیت هر شاخص در هر واحد کاری تعیین گردید. در نهایت، با تلفیق مفهوم فازی و روش تحلیلی سلسله مراتبی در قالب مجموعه مثلثی فازی، شاخص‌ها رتبه‌بندی و پهنه‌بندی شاخص‌های فرسایش بادی برای مدیریت ریسک در محیط Arc View ارائه شد. نتایج پژوهش نشان می‌دهد که واحدهای اراضی کشاورزی (PAG)، اراضی رسی لخت (BCG)، دشت سرآپانداز لخت (BEP) و تپه‌های ماسه‌ای لخت (BSD) به ترتیب با کمترین ارزش کمی $428/00$ ، $396/00$ ، $322/00$ و $3/00$ در معرض فرسایش بادی خیلی شدید قرار دارند. به طور کلی، بر اساس لایه نهایی نزدیک به $84/21$ درصد از مساحت حوضه خضرآباد در معرض خطر فرسایش بادی قرار دارد.

واژه‌های کلیدی: پهنه‌بندی، فرسایش بادی، مدل تحلیلی سلسله مراتبی فازی، مناطق خشک.

دقت نتایج می‌کاهد. همچنین، این مدل‌ها بر اساس عواملی پایه‌گذاری شده‌اند که بومی ایران نبوده و با شرایط محیطی ایران سازگاری ندارند. در بین مدل‌های مطرح، مدل اریفر مطابق با شرایط اکولوژیکی ایران ارائه شده است (اختصاصی و احمدی، ۱۳۷۵ و ۱۳۷۶) و تحقیقات بعدی در زمینه فرسایش بادی بر مبنای این مدل شکل گرفته است (جعفری و همکاران، ۲۰۰۹؛ سپهر و همکاران، ۲۰۰۷؛ آذرکار و همکاران، ۲۰۰۶؛ زهتابیان و جوادی، ۱۳۸۶). مدل اخیر هر چند در ارائه عوامل مؤثر و امتیازدهی آنها شرایط منطقه‌ای ایران را در نظر گرفته، ولی از آنجا که شرایط محلی بسیار متنوعی در ایران حاکم است، نقص وزن‌دهی از روی جدول امتیازدهی یکسان برای تمامی نواحی همچنان پایدار بود. لذا صادقی روش در سال ۱۳۹۲ با ارائه مدل طبقه‌بندی رقومی اقدام به ارزیابی و برآورد شاخص‌های فرسایش به صورت بومی و محلی نمود (صادقی روش، ۱۳۹۲). از طرف دیگر روش‌های مذکور، واجد محدودیت نادیده انگاشتن قضاوت‌های فازی تصمیم‌گیران است. همچنین بعضی از شاخص‌ها ساختار کیفی یا ساختار نامشخصی دارند که نمی‌توانند به دقیقت اندازه‌گیری شوند. در چنین مواردی به منظور دستیابی به نتایج قابل اعتماد می‌باید از اعداد فازی استفاده کرد. بنابراین در این پژوهش سعی شد به منظور پهنه‌بندی پتانسیل خطر فرسایش بادی از روش تحلیلی سلسله مراتبی فازی استفاده شود.

مواد و روش‌ها

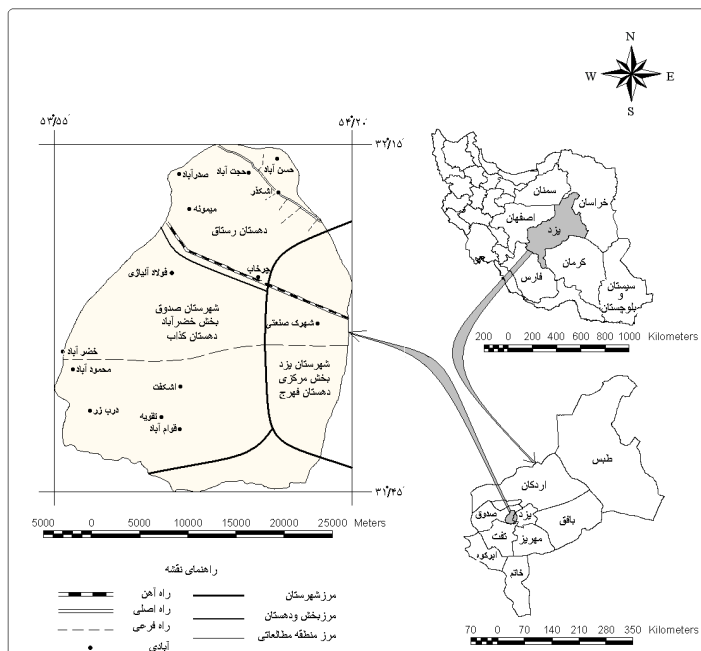
منطقه مورد مطالعه: منطقه خضرآباد با وسعتی معادل ۷۸۲ کیلومتر مربع در ۱۰ کیلومتری غرب شهر یزد در موقعیت جغرافیایی 55° ، 55° ، 20° ، 20° ، 31° ، 45° طول شرقی و 15° ، 15° الی 32° افقی.

مقدمه

طبق تعریف، فرسایش بادی پدیده‌ای است که در نواحی خشک و نیمه‌خشک با بارندگی کم و دامنه نوسان زیاد، پوشش گیاهی ناچیز و بادهای قوی با فراوانی وقوع بالا و حاوی سنگریزه‌های سطحی مستعد برای بادبردگی ایجاد می‌شود. فرسایش بادی مسئله زیستمحیطی مهمی است به طوری که هم اکنون اراضی تحت تاثیر فرسایش بادی به بیش از $5/05$ میلیون کیلومترمربع می‌رسد. این مقدار فرسایش با $46/4$ درصد از اراضی تحت تخریب زمین به وسیله کلیه عوامل برابر است (دونگ و همکاران، ۲۰۰۰). بخش وسیعی از کشور را مناطق خشک و فراخشک فرا گرفته که به دلیل شرایط مختلف، از جمله خاک نارس و تراکم محدود پوشش گیاهی، زمینه برای وقوع فرسایش بادی بسیار مناسب است. بر مبنای این چارچوب، این پژوهش با هدف ارائه روشی نظاممند به منظور پهنه‌بندی خطر فرسایش بادی انجام شد. به منظور دستیابی به این هدف، روش تحلیلی سلسله مراتبی فازی، که نوعی از روش‌های تصمیم‌گیری چند شاخصه جبرانی است، به منظور پهنه‌بندی خطر فرسایش بادی مدنظر قرار گرفت. در زمینه ارزیابی ریسک فرسایش بادی تاکنون مدل‌ها و روش‌های مختلفی ارائه شده است که از آن جمله می‌توان به مدل شفیل و وودروف (۱۹۵۴)، وودروف و سیدوی (۱۹۶۵)، اریفر (احمدی، ۱۳۸۴) اشاره کرد. در غالب این مدل‌ها، عامل حساسیت‌پذیری خاک نقش مهمی را ایفا می‌کند و از آنجا که عوامل گوناگونی نظریه دانه‌بندی (بافت) خاک، چسبندگی ذرات و وزن مخصوص در پایداری آن نقش دارند، برآورد دقیق و کمی این عامل به صورت تجربی غیرممکن است. از سویی، وجود ضرائب مختلف و تجارب متفاوت کارشناسی در برآورد عوامل مذکور نیز از

را تپه‌ها و پهنه‌های ماسه‌ای شکل داده است. ارگ بزرگ اشکذر با وسعتی معادل ۸۹ کیلومترمربع در شمال منطقه با انواع رخساره‌های تخربی و فرسایشی به چشم می‌خورد که قلمرو وقوع طوفان‌های ماسه‌ای با فراوانی بیش از ۱۰ تکرار در سال با جهت غالب غربی و شمال‌غربی می‌باشد. سالانه در حدود ۱۲۰ تن گردوبغار بر شهر یزد فرو می‌ریزند. مجموع این ویژگی‌ها بیانگر غلبه کامل عملکرد فرسایش بادی در منطقه و لزوم شناخت و تهیه نقشه پهنه‌بندی خطر فرسایش بادی می‌باشد (صادقی روش، ۱۳۸۷).

عرض شمالی قرار گرفته، ارتفاع متوسط منطقه ۶۶۳ ۱۳۹۷ متر و ۸۴/۷۹ درصد منطقه (۶۶۳ کیلومترمربع) شبیه کمتر از ۱۰ درصد دارد. بنابراین، قسمت اعظم منطقه را اراضی پست با شبیب متوسط ۹/۴۱ درصد تشکیل می‌دهد. از نظر اقلیمی بر مبنای اقلیمنمای آمبرژه اقلیم منطقه مورد مطالعه در شرایط خشک و سرد بیابانی طبقه‌بندی می‌شود (شکل ۱). متوسط بارندگی سالیانه ۱۲۱ میلیمتر و جهت باد غالب شمال غربی با فراوانی وقوع ۱۶/۹۴ درصد و با حداکثر سرعت ۱۶/۳ کیلومتر در ساعت می‌باشد. حدود ۱۳۰ کیلومتر مربع (۱۶/۵ درصد) از اراضی منطقه



شکل ۱: موقعیت جغرافیایی منطقه خضر آباد

فرجی، ۱۳۸۱) تعداد محاسبات و پیچیدگی مراحل این روش باعث شد که چندان مورد استفاده قرار نگیرد. در سال ۱۹۹۶ چانگ روش تحلیلی توسعه‌ای را ارائه کرد که از اعداد مثلثی فازی در این روش استفاده کرد (زو و همکاران، ۱۹۹۹؛ چانگ، ۱۹۹۶). این روش با منطق قوی و

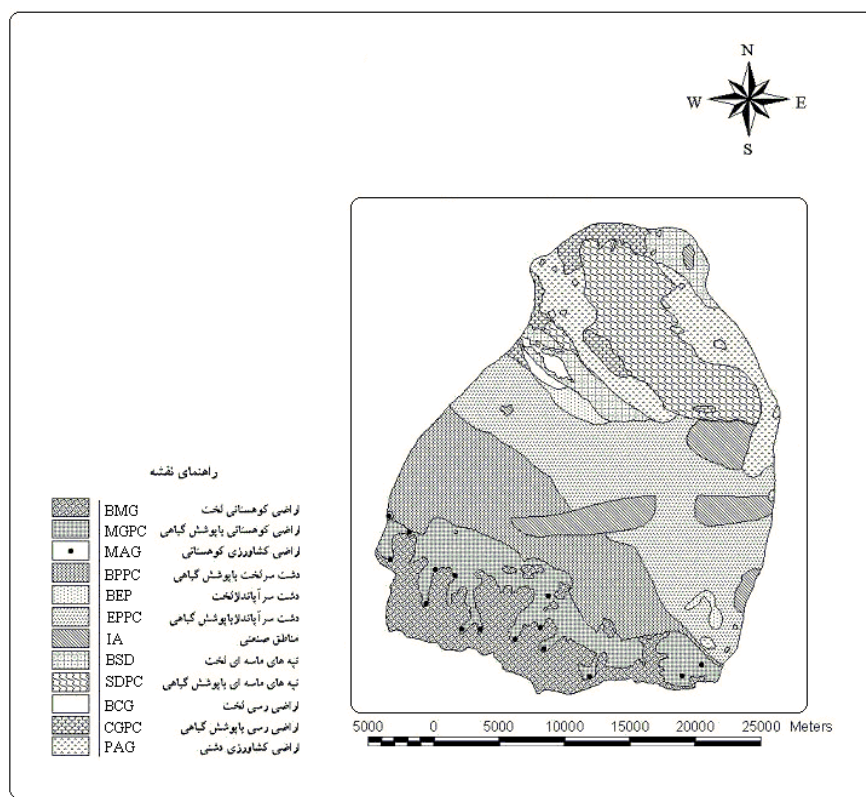
روش تحقیق: پژوهش حاضر بر مبنای مدل تحلیلی سلسه مراتبی فازی انجام و نقشه پهنه‌بندی خطر فرسایش بادی تهیه شد. این روش اولین بار توسط لارهون و پدریک در سال ۱۹۸۳ بر اساس روش حداقل مجذورات لگاریتمی ارائه شد. (زو و همکاران، ۱۹۹۹؛ لارهون و پادریک، ۱۹۸۳؛ آذر و

تحلیلی سلسله مراتبی فازی در حوزه مسائل مربوط به پهنه‌بندی خطر فرسایش بادی چه در داخل ایران و چه در خارج از ایران به کار گرفته نشده است.

مدل تحلیلی سلسله مراتبی فازی طی مراحل ذیل به انجام رسید:

تعیین واحدهای کاری و شاخص های ارزیابی: به منظور ارزیابی فرسایش در ابتدا برای تعیین چارچوبی مناسب برای تهیه نقشه فرسایش، اقدام به تعیین و تفکیک واحدهای کاری از روش ژئومرفولوژی (احمدی، ۱۳۸۴) در سطح منطقه مطالعاتی شد (شکل ۲).

مستدلی که داشت به سرعت در حوزه‌های مختلف علوم توسعه یافت، از پژوهش‌های انجام شده در زمینه کاربرد مدل تحلیلی سلسله مراتبی فازی می‌توان به موارد ذیل اشاره کرد، ارزیابی طرح‌های مدیریت آب (سریدجویک و مدیروس، ۲۰۰۸)، مدیریت ایمنی در تولید (داگدوبرن و یوگسل، ۲۰۰۸)، انتخاب سیستم‌های برنامه‌ریزی منابع (کبسی، ۲۰۰۹)، انتخاب پرسنل (داگدوبرن و همکاران، ۲۰۰۹)، ارزیابی منابع انرژی (میکسنر، ۲۰۰۹) و ارزیابی راهبردهای بیابانزدایی (صادقی روش و همکاران، ۲۰۱۴). بررسی‌های گسترده در پژوهش حاضر حاکی از آن است که مدل



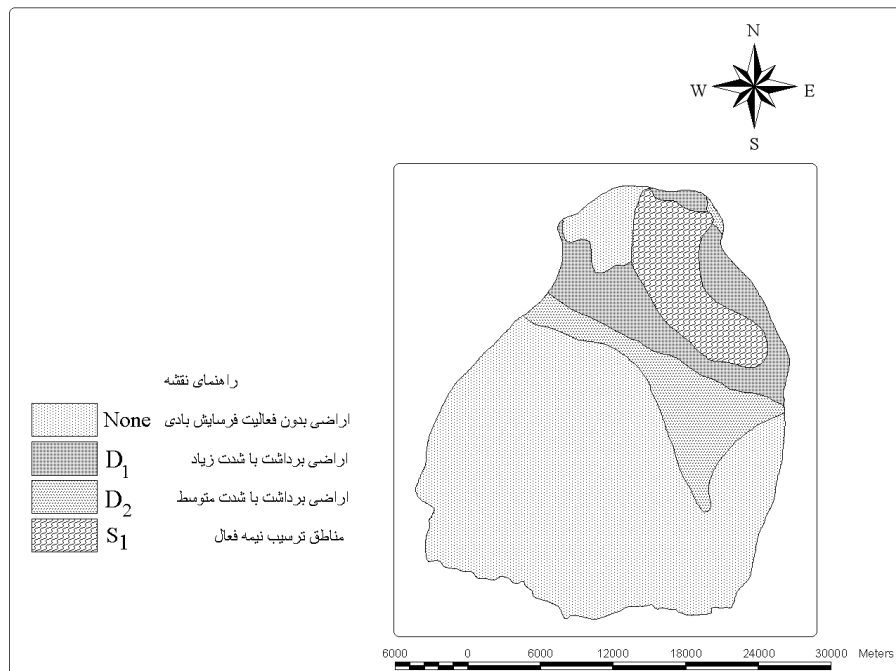
شکل ۲: واحدهای کاری منطقه حضرآباد

زمین، حساسیت سنگ به فرسایش بادی، تیپ-های خاک، پوشش گیاهی و کاربری اراضی است. ارزش‌گذاری شاخص‌ها در مقیاسی واحد: بر اساس مطالعات انجام شده بر روی رخساره‌های فرسایش

سپس، بر اساس میزان تأثیر متغیرها در فرسایش، شش متغیر به عنوان متغیرهای اصلی فرسایش بادی در منطقه در نظر گرفته شد. متغیرهای مذکور شامل تغییرات ارتفاع، پستی و بلندی

میدانی، موقعیت جغرافیایی مناطق تحت تأثیر به صورت نقشه ۱/۵۰۰۰۰ ارائه شد (شکل ۳).

بادی منطقه مطالعاتی (مرکز ملی بیابانزدایی، ۱۳۸۵) با استفاده از عکس‌های هوایی ۱/۴۰۰۰۰ تصاویر ماهواره‌ای ETM سال ۲۰۰۲ و بررسی‌های



شکل ۳: پراکندگی فعالیت فرسایش بادی بر مبنای پراکنش رخساره‌های فرسایشی در حوضه خضرآباد

ادامه با روی هم پوشانی دودویی نقشه پراکندگی حوضه‌های عملکردی فرسایش بادی و نقشه‌های موضوعی مذکور با استفاده از دستور Geoprocessing و تهییه نقشه‌های تلفیقی، نمودارهای مقایسه‌ای مساحت ناشی از فرسایش بادی به نسبت هر کدام از عوامل مؤثر در فرسایش شکل گرفت (شکل ۴) که این اشکال بیانگر پتانسیل فرسایش هر طبقه از نقشه‌های موضوعی در مقابل فرسایش می‌باشد (قهرودی تالی، ۱۳۸۳). بنابراین، بر اساس دامنه نوسان متغیرها و ارتباط آنها با ظهور رخساره‌های فرسایش بادی در منطقه، متغیرها به سطوح مختلف تقسیم و در مقیاس ۱ الی ۹ وزن دهی شد (جدول ۱).

از این لایه برای تحلیل متغیرهای مؤثر و وزن-دهی آنها استفاده شد. به منظور تفکیک و وزن-دهی متغیرها بر مبنای شرایط محلی، مدل رقمی ارتفاعی از داده‌های ارتفاعی نقشه‌های رقمی ۱/۲۵۰۰۰ سازمان نقشه‌برداری کشور، در مقیاس ۱/۵۰۰۰۰ تهییه شد. در ادامه بر مبنای نقشه مدل رقمی ارتفاعی در محیط Arc view، نقشه‌های منحنی میزان، هیپسومتریک، شیب، جهات جغرافیایی با توجه به هدف مطالعاتی شکل گرفت. سپس نقشه‌های موضوعی لیتوژئی، تیپ خاک، پوشش‌گیاهی، کاربری اراضی و ژئومرفولوژی نیز از ۱/۲۵۰۰۰ مرزبندی و آماربرداری عکس‌های هوایی و تصاویر ETM سال ۲۰۰۲ (لیساند و کیفر، ۲۰۰۰) در مقیاس ۱/۵۰۰۰۰ شکل گرفتند. در

جدول ۱: امتیازدهی شاخص‌ها در مقیاس واحد

بسیار شدید (۷/۱-۹)	شدید (۵/۱)	متوسط (۳/۱ - ۵)	آرام (۳ - ۱)	شدت فرسایش
				شاخص ارزیابی (متغیرها) (I)
<۱۲۰۰	-۱۳۰۰ ۱۲۰۰	۱۳۰۰-۱۴۰۰	>۱۴۰۰	تغییرات ارتفاع
اراضی هموار رسی و رسوبات آبرفتی جوان با آثار فرسایشی همانند کلوتک ویارданگ	تپه ها و پهنه های ماسه ای و اراضی کشاورزی دشت سر آپانداز و نسبتاً هموار	اراضی با رسوبات منفصل درشت و متوسط همانند مخروط افکنه ها و بسترهای خشکرود با پستی و بلندی متوسط	منطقه کوهستانی و تپه ماهوری با پستی و بلندی زیاد و دشت سر لخت با پوشش خاکی ناچیز ورخمنون سنگی و فرسایش خندقی	ژئومرفولوژی
تراسهای قدیمی	تپه های ماسه ای	آبرفت جدید	آهک، آندزیت، دایک، شیل سبز، ماسه سنگ، تراکیت، دولومیت، سیلت	واحدهای سنگ شناسی
خاکهای تیپ دشتسر آپانداز با شبیب بسیار کم (EP ₂) خاکهای ماسه ای (C)	خاکهای تیپ دشتسر آپانداز با شبیب (EP ₁) کم	-	خاکهای تیپ کوهستان (M) خاکهای تیپ دشت- سر لخت (BP)	خاک
تیپ درمنه-کوزینیا (A.Co)	تپه های ماسه ای تاغ کاری شده (Hal/S.D)	تیپ درمنه - جارو (A.Sc) اراضی لخت تاغ کاری شده (Hal/B.L)	تیپ درمنه- بوه شور (A.Sa) تیپ طارون چرخه (C.La) تیپ درمنه- قلم (A.Fo)	پوشش گیاهی
تپه های ماسه ای با پوشش گیاهی (P(S.D)) اراضی مرتعی و کشاورزی آبی (PL,A(I))	اراضی کشاورزی آبی (A(I)) کشاورزی و صنعتی (A(I),I)	اراضی لخت و بایر (B) مناطق صنعتی (I) تپه های ماسه ای لخت (B(S.D))	اراضی لخت کوهستانی B(M&H) و تپه ماهوری (PL) چراغاه فصلی (PL)	کاربری اراضی

توجه به جدول امتیازدهی شاخصها (جدول ۱) در مقیاس ۱ الی ۹، مورد ارزیابی و توافق گروهی قرار گرفت (جدول ۲).

تعیین ارزش هر شاخص در هر واحد کاری و تشکیل ماتریس داده‌ها: در ادامه از روش دلفی با تشکیل ماتریس تصمیم‌گیری داده‌ها، ارزش هر شاخص در هر واحد کاری، از نظر اثر بر فرایند فرسایش با

جدول ۲: ماتریس داده‌های استاندارد (آذر و رجبزاده، ۱۳۸۱)

I _N	I ₂	I ₁	◀ شاخص _i
				▼ واحد کاری _i
P _{1N}	P ₁₂	P ₁₁	TMU ₁
P _{2N}	P ₂₂	P ₂₁	TMU ₂
:	:	:	:	:
P _{MN}	P _{M2}	P _{M1}	TMU _M

در این ماتریس M = تعداد واحد‌های کاری، N = تعداد شاخص‌ها I = عنوان شاخص و z_{ij} = مقدار وزنی نرمال که هر واحد کاری با توجه به شاخص مربوطه کسب می‌کند، می‌باشد.

که در آن:
E_{ij}: آنتروپی هر واحد کاری نسبت به هر شاخص
P_{ij}: مقدار وزنی نرمال هر واحد کاری نسبت به هر شاخص
lnP_{ij}: لگاریتم نپرین مقدار وزنی نرمال هر واحد کاری نسبت به هر شاخص

تعیین اهمیت شاخص‌ها با استفاده از روش آنتروپی شانون: به منظور تعیین اهمیت شاخص‌ها پس از تشکیل ماتریس تصمیم‌گیری (جدول ۲) که یک ماتریس نرمالیزه است، آنتروپی واحدهای کاری نسبت به شاخص‌ها از رابطه ۱ محاسبه شده و ماتریس دو بعدی آن شکل می‌گیرد (جدول ۳).

$$E_{ij} = P_{ij} \times \ln P_{ij}; \forall j \quad \text{رابطه ۱}$$

جدول ۳: ماتریس آنتروپی واحدهای کاری نسبت به شاخص‌ها

I _n	...	I ₂	I ₁	◀ I _i
				▼ واحد کاری _i
E _{1N}	...	E ₁₂	E ₁₁	TMU ₁
E _{2N}	...	E ₂₂	E ₂₁	TMU ₂
:	:	:	:	:
E _{MN}	...	E _{M2}	E _{M1}	TMU _m

در ادامه آنتروپی شاخصها (E_j) از رابطه (۲) محاسبه می‌شود.
و K به عنوان مقدار ثابت از رابطه ۳ محاسبه می‌شود.

$$K = \frac{1}{\ln M} \quad \text{رابطه ۳}$$

در این رابطه:
K : ضریب ثابت

$$E_j = -K \sum_{i=1}^m (P_{ij} \times \ln P_{ij}) \quad \text{رابطه ۲}$$

در این رابطه:
E_j : آنتروپی هر شاخص

محاسبه ارزش \tilde{S}_k یا اعداد فازی مثلثی ترکیبی برای هر سطر ماتریس فازی از رابطه ۶

(رابطه ۶)

$$\tilde{S}_k = \sum_{j=1}^n M^k_{kj} \left[\sum_{i=1}^{n_k} \sum_{j=1}^{n_k} M^k_{ij} \right]^{-1}, \quad i = 1, 2, \dots, n_k$$

در این رابطه k بیانگر شماره سطر و i و j به ترتیب نشان دهنده واحدهای کاری یا شاخصها می باشد

محاسبه درجه بزرگی ارزش \tilde{S}_k هر سطر ماتریس فازی نسبت به هم از رابطه ۷

(رابطه ۷)

$$\begin{cases} V(\tilde{S}_{ij}^k \geq \tilde{S}_{jj}^k) = 1, & m_i \geq m_j, \quad j = 1, 2, \dots, n_k, \quad j \neq i \\ V(\tilde{S}_{ij}^k \geq \tilde{S}_{jj}^k) = \frac{u_i - l_j}{(u_i - l_j) + (m_j - m_i)} & \text{Otherwise, } j = 1, 2, \dots, n_k, \quad j \neq i \end{cases}$$

محاسبه درجه بزرگی هر عدد فازی مثلثی ترکیبی از K عدد فازی ترکیبی دیگر از رابطه ۸

(رابطه ۸)

$$P^K_{ih}(I^k_i \text{ or } TMU^k_i) = \min V(\tilde{S}_{ii}^k \geq \tilde{S}_{jj}^k), \quad i = 1, 2, \dots, n_k$$

در این رابطه TMU^k_i بیانگر واحد کاری یا شاخص (I^k_i) آم از جدول ماتریس فازی K ام می باشد.

اعداد حاصل از این فرایند بیانگر اوزان غیر بهنجارشده ارجحیت شاخصها نسبت به هم و اولویت واحدهای کاری نسبت به هر شاخص می باشند.

نرماییزه کردن اوزان نابهنجار شاخصها و واحدهای کاری از رابطه ۹ و دستیابی به ارجحیت و اولویت شاخصها و واحدهای کاری از نظر گروه (رابطه ۱۰).

(رابطه ۹)

$$P^K_h = \frac{P^K_{ih}(I^k_i \text{ or } TMU^k_i)}{\sum_{i=1}^k P^K_{ih}(I^k_i \text{ or } TMU^k_i)} \quad i = 1, 2, \dots, n_k$$

$$P^K_h = P^K_{1h}, P^K_{2h}, \dots, P^K_{n_k h} \quad (\text{رابطه ۱۰})$$

\ln_M : لگاریتم نپرین تعداد واحدهای کاری (M) در ادامه، مقدار d_j (درجه انحراف) از رابطه ۴ محاسبه می شود که بیان می کند شاخص مربوطه (ج) چه میزان اطلاعات مفید برای تصمیم گیری در اختیار تصمیم گیرنده قرار می دهد. هر چه مقداری اندازه گیری شده شاخصی به صفر نزدیک باشد، نشان دهنده آن است که گزینه های رقیب از نظر آن شاخص تفاوت چندانی با یکدیگر ندارند. لذا نقش آن شاخص در تصمیم گیری باید به همان اندازه کاهش یابد.

(رابطه ۴)

سپس مقدار اوزان شاخصها از رابطه ۵ محاسبه می شود.

(رابطه ۵)

بر مبنای این روش شاخصی که بیشترین وزن را دارد بیشترین نقش در تصمیم گیری را نیز دارد (آذر و رجب زاده، ۱۳۸۱).

تعیین ارزش های فازی برای اوزان شاخصها و تشکیل ماتریس اعداد فازی: به منظور برآورد شدت فرسایش بادی در قالب تئوری فازی لازم است ارزش های مطلق به صورت اعداد فازی بیان شوند از این رو در این مرحله با توجه به دامنه نوسان ارجحیت شاخصها نسبت به هم (W_j) و اولویت

هر شاخص در هر واحد کاری یا ماتریس تصمیم گیری (جدول ۲) اقدام به تعیین ارزش های فازی به صورت مثلثی (TFN) شد (سپهر و همکاران، ۱۳۹۱) و سپس ماتریس اعداد فازی ارجحیت شاخصها و اولویت هر شاخص در هر واحد کاری شکل گرفت (جداول ۸ و ۹).

(TMU) نسبت به هر شاخص (I) که در سطوح بالاتر (K) از واحدهای کاری واقع شده به صورت رابطه ۱۲ نمایش داده می‌شود.

رابطه (۱۲)

$$TMU^K_{ij} = \left(TMU^K_{1h}, TMU^K_{2h}, \dots, TMU^K_{n_k h} \right)^T$$

تشکیل ماتریس تصمیم‌گیری فازی: بر مبنای شکل کلی ماتریس تصمیم‌گیری در مدل‌های تصمیم‌گیری چند شاخصه و با توجه به روابط ۱۱ و ۱۲ ماتریس تصمیم‌گیری فازی شکل گرفت (جدول ۴).

جدول ۴: ماتریس تصمیم‌گیری فازی

TMU_i^k	Criterion				
	I^{K-1}_1	I^{K-1}_2	...	I^{K-1}_{N_{K-1}}	P_i^K
TMU^1	a^k_{11}	a^k_{12}	...	a^k_{1nk-1}	P_1^K
TMU^2	a^k_{21}	a^k_{22}	...	a^k_{2nk-1}	P_2^K
:	:	:	:	:	:
TMU^k	a^k_{nk1}	a^k_{nk2}	...	a^k_{nkknk-1}	P_n^K

بر این مبنای واحد کاری که بیشترین ضریب اولویت را داشته باشد به عنوان بهترین واحد کاری ارزیابی می‌شود به عبارتی کمترین میزان پتانسیل فرسایش بادی بر مبنای مجموعه شاخص‌های موثر در فرایند فرسایش در این واحدها ارزیابی می‌شود و بالعکس (شکل ۴).

این رابطه بیانگر ارجحیت هر شاخص نسبت به سایر شاخص‌ها در دستیابی به هدف "ازیابی خطر فرسایش بادی" و اولویت هر واحد کاری ماتریس فازی I^K نسبت به هر شاخص است. بنابراین ارجحیت شاخصها نسبت به هدف را می‌توان به صورت رابطه ۱۱ نمایش داد.

رابطه (۱۱)

$$\text{I}^{K-1} = \left(\text{I}^{K-1}_1, \text{I}^{K-1}_2, \dots, \text{I}^{K-1}_{n_{k-1}} \right)$$

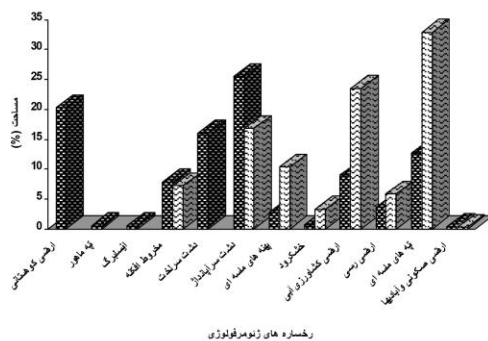
در این رابطه ارجحیت (وزن نسبی) هر شاخص (I) نسبت به هدف که در سطح بالاتر (K-1) قرار گرفته بیان می‌شود و اولویت هر واحد کاری

جدول ۴: ماتریس تصمیم‌گیری فازی

ادغام اوزان نسبی ارجحیت و اولویت شاخص‌ها و واحدهای کاری از روش میانگین موزون (رابطه ۱۱) و برآورد ضریب اولویت یا شدت فرسایش واحدهای کاری بر مبنای مجموعه شاخص‌ها از نظر گروه (P_i^K) (رابطه ۱۳).

$$P_i^K = \sum_{j=1}^{n_{k-1}} TMU_{ij}^k I^{k-1}_j \quad (13)$$

بر حسب مساحت رخساره‌های زیوئرفلوژی
در حسب مساحت فرسایش بادی



شکل ۴: مقایسه‌ای مساحت طبقات رخساره‌های مرفوولوژی با مساحت مناطق تحت تأثیر فرسایش بادی

حوضه‌های عملکردی فرسایش بادی (شکل ۳) مطابق روش پژوهش، نمودارهای مقایسه‌ای مساحت ناشی از فرسایش بادی به نسبت هر کدام از عوامل مؤثر در فرسایش شکل گرفت. به منظور اجتناب از طولانی شدن مقاله یک مورد از این نمودارها ارائه شده است (شکل ۴) که بیانگر پتانسیل فرسایش هر طبقه از نقشه‌های موضوعی در مقابل فرسایش است. بنابراین، بر اساس دامنه نوسان متغیرها و ارتباط آنها با ظهور رخساره‌های فرسایش بادی در منطقه، متغیرها به سطوح مختلف تقسیم و در مقیاس ۱ الی ۹ وزن دهی شد (جدول ۲). سپس با توجه به جدول ارزش‌گذاری شاخص‌ها در مقیاس واحد (جدول ۲)، ارزش هر شاخص در هر واحدکاری برآورد شد. (جدول ۵).

طبقه‌بندی ضرائب اولویت واحدهای کاری و تهیه نقشه پتانسیل فرسایش بادی: در نهایت با طبفه بندی ضریب اولویت واحدهای کاری (P_i^K) (جدول ۶)، هر واحدکاری با توجه به شدت فرسایش محاسبه شده در یکی از طبقات قرار می‌گیرد. سپس بر روی نقشه واحدهای کاری، از تلفیق واحدهای دارای طبقات یکسان، نقشه‌های Arc نهایی پتانسیل خطر فرسایش بادی در محیط View بدست می‌آید (شکل ۵) (صادقی روش، ۱۳۸۷؛ صادقی روش، ۲۰۰۹).

نتایج

پس از تهیه نقشه واحدهای کاری (شکل ۲)، تعیین شاخص‌های موثر و تهیه نقشه پراکندگی

جدول ۵: ماتریس تصمیم‌گیری بر مبنای ارزش هر شاخص در هر واحدکاری

کاربری اراضی	پوشش گیاهی	خاک	واحدهای سنگ شناسی	زنومرفولوژی	تغییرات ارتفاع	شاخص (I_i) واحدکاری (TMU)	
						(BMG)	(MGPC)
۲	۴	۱	۱	۱	۱		
۳	۲	۲	۵	۱	۲		
۴	۶	۳	۸	۲	۴		
۳	۳	۷	۹	۸	۷		
۴	۸	۶	۹	۶	۶		
۶	۵	۸	۹	۷	۸		
۸	۶	۸	۹	۹	۸		
۸	۴	۹	۹	۹	۸		
۴	۲	۹	۷	۸	۹		
۹	۷	۹	۷	۸	۸		
۵	۷	۶	۵	۶	۶		
۵	۲	۲	۳	۱	۲		
در این جدول: (BMG): واحد کاری اراضی کوهستانی لخت، (MGPC): واحد کاری اراضی کوهستانی با پوشش گیاهی، (MAG): واحد کاری اراضی کشاورزی کوهستانی، (BPPC): واحد کاری دشت سر لخت با پوشش گیاهی، (BEP): واحد کاری دشت سرآپانداز لخت، (EPPC): واحد کاری دشت سرآپانداز با پوشش، (IA): واحد کاری نواحی صنعتی، (BSD): واحد کاری تپه‌های ماسه‌ای لخت، (SDPC): واحد کاری تپه‌های ماسه‌ای با پوشش، (BCG): واحد کاری اراضی رسی لخت، (CGPC): واحد کاری اراضی رسی با پوشش گیاهی، (PAG): واحد کاری اراضی کشاورزی دشتی، (BCG): واحد کاری اراضی رسی لخت، می‌باشد.							

مطابق ادبیات تحقیق به منظور انجام سایر فازهای مدل تحلیلی سلسله مراتبی فازی در راستای پنهانه بندی پتانسیل خطر فرسایش بادی اوزان شاخص های مطرح در فرایند فرسایش بادی با دامنه نوسان ۰/۰۵ (جدول ۸) و ارزش هر شاخص در هر واحد کاری با دامنه نوسان ۰/۵ برآورد شد (جدول ۹).

در ادامه بر مبنای ماتریس تصمیم گیری (جدول ۵) و از رابطه ۱، "ماتریس آنتروپی واحد های کاری نسبت به هر شاخص" برآورد شد (جدول ۶). و به دنبال آن آنتروپی شاخص های موثر در فرسایش بادی (E_j) از رابطه ۲ محاسبه شد و با محاسبه درجه انحراف (d_j) و اوزان شاخص ها (W_j) از روابط ۴ و ۵ اهمیت شاخص های مطرح در فرایند فرسایش مطابق جدول ۷ برآورد شد.

جدول ۶: ماتریس آنتروپی واحد های کاری نسبت به هر شاخص

کاربری اراضی	پوشش گیاهی	خاک	واحدهای سنگ شناسی	ژئومرفولوژی	تغییرات ارتفاع	شاخص (I_i)
						واحد کاری ▼(TMU)
۱/۳۸۶۳	۵/۵۴۵۲	(BMG)
۳/۲۹۵۸	۱/۳۸۶۳	۱/۳۸۶۳	۸/۰۴۷۲	.	۱/۳۸۶۳	(MGPC)
۵/۵۴۵۲	۱۰/۷۵۰۵	۳/۲۹۵۸	۱۶/۶۳۵۵	۱/۳۸۶۳	۵/۵۴۵۲	(BPPC)
۳/۲۹۵۸	۳/۲۹۵۸	۱۳/۶۲۱۴	۱۹/۷۷۵۰	۱۶/۶۳۵۵	۱۳/۶۲۱۴	(BEP)
۵/۵۴۵۲	۱۶/۶۳۵۵	۱۰/۷۵۰۵	۱۹/۷۷۵۰	۱۰/۷۵۰۵	۱۰/۷۵۰۵	(EPPC)
۱۰/۷۵۰۵	۸/۰۴۷۲	۱۶/۶۳۵۵	۱۹/۷۷۵۰	۱۳/۶۲۱۴	۱۶/۶۳۵۵	(PAG)
۱۶/۶۳۵۵	۱۰/۷۵۰۵	۱۶/۶۳۵۵	۱۹/۷۷۵۰	۱۹/۷۷۵۰	۱۶/۶۳۵۵	(CGPC)
۱۶/۶۳۵۵	۵/۵۴۵۲	۱۹/۷۷۵۰	۱۹/۷۷۵۰	۱۹/۷۷۵۰	۱۶/۶۳۵۵	(BCG)
۵/۵۴۵۲	۱/۳۸۶۳	۱۹/۷۷۵۰	۱۳/۶۲۱۴	۱۶/۶۳۵۵	۱۹/۷۷۵۰	(BSD)
۱۹/۷۷۵۰	۱۳/۶۲۱۴	۱۹/۷۷۵۰	۱۳/۶۲۱۴	۱۶/۶۳۵۵	۱۶/۶۳۵۵	(SDPC)
۸/۰۴۷۲	۱۳/۶۲۱۴	۱۰/۷۵۰۵	۸/۰۴۷۲	۱۰/۷۵۰۵	۱۰/۷۵۰۵	(IA)
۸/۰۴۷۲	۱/۳۸۶۳	۱/۳۸۶۳	۳/۲۹۵۸	.	۱/۳۸۶۳	(MAG)
۱۰۴/۵۰۴۴	۹۰/۵۸۸۵۳	۱۳۳/۷۸۶۸	۱۶۲/۱۴۳۵	۱۲۵/۹۶۵۲	۱۲۹/۷۵۷۲	مجموع

جدول ۷: برآورد آنتروپی، درجه انحراف و اوزان شاخص های مطرح در فرایند فرسایش بادی

کاربری اراضی	پوشش گیاهی	خاک	واحدهای سنگ شناسی	ژئومرفولوژی	تغییرات ارتفاع	شاخص (I_i)
-۴۲/۰۵۵۶	-۳۶/۴۵۴۲	-۵۳/۸۳۹۷	-۶۵/۲۵۱۲	-۵۰/۶۹۲۱	-۵۲/۲۱۸۱	E_j
-۴۳/۰۵۵۶	-۳۷/۴۵۴۲	-۵۴/۸۳۹۷	-۶۶/۲۵۱۲	-۵۱/۶۹۲۱	-۵۳/۲۱۸۱	d_j
۰/۱۴۰۵	۰/۱۲۱۲	۰/۱۷۸۹	۰/۲۱۶۱	۰/۱۶۸۶	۰/۱۷۳۶	W_j

جدول ۸: اعداد فازی اوزان شاخص‌های مطرح در فرایند فرسایش بادی با دامنه نوسان ۰/۰۵

مجموع	کاربری اراضی (LU)	پوشش گیاهی (PC)	خاک (S)	واحدهای سنگ شناسی (LI)	ژئومرفولوژی (GE)	تغییرات ارتفاع (H)	شاخص (I_i)
۱/۲۹۹ ، ۰/۹۹۹، ۰/۶۹۹	۰/۱۴، ۰/۱۹ ۰/۰۹	۰/۱۲۱، ۰/۱۷۱ ۰/۰۷۱	۰/۱۷۹، ۰/۲۲۹ ۰/۱۲۹	۰/۲۱۶، ۰/۲۶۶ ۰/۱۶۶	۰/۱۶۹، ۰/۲۱۹ ۰/۱۱۹	۰/۱۷۴، ۰/۲۲۴ ۰/۱۲۴	W_j

جدول ۹: اعداد فازی (مرزهای فازی مثلثی) برای ارزش هر شاخص در هر واحد کاری با دامنه نوسان ۰/۵

کاربری اراضی	پوشش گیاهی	خاک	واحدهای سنگ شناسی	ژئومرفولوژی	تغییرات ارتفاع	شاخص (I_i)
						واحد کاری (TMU)
۱/۵، ۲، ۲/۵	۳/۵، ۴، ۴/۵	۰/۵، ۱، ۱/۵	۰/۵، ۱، ۱/۵	۰/۵، ۱، ۱/۵	۰/۵، ۱، ۱/۵	(BMG)
۲/۵، ۳، ۳/۵	۱/۵، ۲، ۲/۵	۱/۵، ۲، ۲/۵	۴/۵، ۵، ۵/۵	۰/۵، ۱، ۱/۵	۱/۵، ۲، ۲/۵	(MGPC)
۳/۵، ۴، ۴/۵	۵/۵، ۶، ۶/۵	۲/۵، ۳، ۳/۵	۷/۵، ۸، ۸/۵	۱/۵، ۲، ۲/۵	۳/۵، ۴، ۴/۵	(BPPC)
۲/۵، ۳، ۳/۵	۲/۵، ۳، ۳/۵	۶/۵، ۷، ۷/۵	۸/۵، ۹، ۹/۵	۷/۵، ۸، ۸/۵	۶/۵، ۷، ۷/۵	(BEP)
۳/۵، ۴، ۴/۵	۷/۵، ۸، ۸/۵	۵/۵، ۶، ۶/۵	۸/۵، ۹، ۹/۵	۵/۵، ۶، ۶/۵	۵/۵، ۶، ۶/۵	(EPPC)
۵/۵، ۶، ۶/۵	۴/۵، ۵، ۵/۵	۷/۵، ۸، ۸/۵	۸/۵، ۹، ۹/۵	۶/۵، ۷، ۷/۵	۷/۵، ۸، ۸/۵	(PAG)
۷/۵، ۸، ۸/۵	۵/۵، ۶، ۶/۵	۷/۵، ۸، ۸/۵	۸/۵، ۹، ۹/۵	۸/۵، ۹، ۹/۵	۷/۵، ۸، ۸/۵	(CGPC)
۷/۵، ۸، ۸/۵	۳/۵، ۴، ۴/۵	۸/۵، ۹، ۹/۵	۸/۵، ۹، ۹/۵	۸/۵، ۹، ۹/۵	۷/۵، ۸، ۸/۵	(BCG)
۳/۵، ۴، ۴/۵	۱/۵، ۲، ۲/۵	۸/۵، ۹، ۹/۵	۶/۵، ۷، ۷/۵	۷/۵، ۸، ۸/۵	۸/۵، ۹، ۹/۵	(BSD)
۸/۵، ۹، ۹/۵	۶/۵، ۷، ۷/۵	۸/۵، ۹، ۹/۵	۶/۵، ۷، ۷/۵	۷/۵، ۸، ۸/۵	۷/۵، ۸، ۸/۵	(SDPC)
۴/۵، ۵، ۵/۵	۶/۵، ۷، ۷/۵	۵/۵، ۶، ۶/۵	۴/۵، ۵، ۵/۵	۵/۵، ۶، ۶/۵	۵/۵، ۶، ۶/۵	(IA)
۴/۵، ۵، ۵/۵	۱/۵، ۲، ۲/۵	۱/۵، ۲، ۲/۵	۲/۵، ۳، ۳/۵	۰/۵، ۱، ۱/۵	۱/۵، ۲، ۲/۵	(MAG)
۵۵، ۶۱، ۶۷	۵۰، ۵۶، ۶۲	۶۴، ۶۰، ۷۶	۷۵، ۸۱، ۸۷	۶۰، ۶۶، ۷۲	۶۳، ۶۹، ۷۵	مجموع

برآورد شد. بدین ترتیب پس از برآورد اوزان نابهنجار سایر واحدهای کاری نسبت به سایر شاخص‌ها، این اوزان از رابطه ۹ بهنجار شد و ارجحیت و اولویت شاخص‌ها و واحدهای کاری از نظر گروه حاصل شد. در نهایت با برآورد کلیه اوزان بهنجار شده شاخص‌ها نسبت به هم و واحد های کاری نسبت به هر شاخص، در قالب کلی ماتریس تصمیم‌گیری در محیط فازی (جدول ۲)، ماتریس تصمیم‌گیری فازی شدت فرسایش بادی واحدهای کاری از نظرگروه (جدول ۱۰) شکل

پس از تعیین جدول و مرزهای فازی مثلثی، ارزش \tilde{S}_k که خود یک عدد فازی مثلثی ترکیبی است، برای شاخص‌ها نسبت به هم و واحدهای کاری نسبت به هر شاخص از رابطه ۶ محاسبه شد و در ادامه ارزش هر عدد فازی مثلثی ترکیبی (\tilde{S}_k) نسبت به هم از رابطه ۷ مورد مقایسه قرار گرفت و درجه بزرگی آنها نسبت به هم برآورد شد. و به دنبال آن درجه بزرگی هر عدد فازی مثلثی ترکیبی از K عدد مثلثی فازی ترکیبی از رابطه ۸

نتایج حاصل از نقشه پهنه بندی پتانسیل خطر فرسایش بادی نشانگر آن است که واحدهای دشت سرآپانداز لخت (BEP)، اراضی رسی لخت (BCG) و با پوشش گیاهی (CGPC)، تپه‌های ماسه‌ای لخت (BSD) و اراضی کشاورزی (PAG) در میان سایر واحدهای کاری واجد بیشترین پتانسیل رخداد فرسایش بادی می‌باشند.

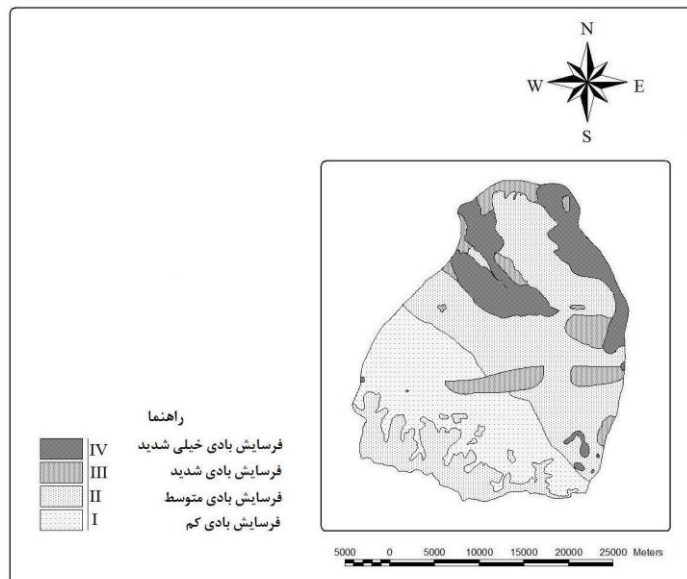
گرفت. با توجه به الگوریتم کار مدل تحلیلی سلسله مراتبی فازی در این مرحله ضریب الویت حاصل شده در طبقات شدت دسته بندی شدند (جدول ۱۱) و در نهایت بر روی نقشه واحدهای کاری، از تلفیق واحدهای دارای طبقات یکسان، نقشه‌های نهایی پتانسیل خطر فرسایش بادی در محیط Arc View به دست آمد (شکل ۵).

جدول ۱۰: ماتریس تصمیم‌گیری فازی شدت فرسایش بادی واحدهای کاری از نظر گروه

طبقات شدت	\bar{P}_i	کاربری اراضی	پوشش گیاهی	خاک	واحدهای سنگ شناسی	ژئومورفولوژی	تغییرات ارتفاع	شاخص (I_i)
								واحدکاری ▼(TMU)
متوسط	-0/0175	-0/2697	-0/0945	-0/3491	1/7429	-0/2662	-0/4227	(BMG)
کم	-0/0542	-0/1979	-0/2422	-0/1898	0/4619	-0/3662	-0/3523	(MGPC)
کم	-0/0896	-0/1339	-0/0253	-0/2042	-0/1646	-0/2853	-0/1828	(BPPC)
خیلی خودکاری	-0/0396	-0/1978	-0/3781	-0/1898	-0/4723	-0/0675	-0/0219	(BEP)
متوسط	-0/0043	-0/1339	-0/1242	-0/1431	-0/4723	-0/0304	-0/0404	(EPPC)
خیلی شدید	-0/0428	-0/0278	-0/0318	-0/0608	-0/4723	-0/0206	-0/0799	(PAG)
شدید	-0/0185	-0/069	-0/0252	-0/0608	-0/4723	-0/1109	-0/0799	(CGPC)
خیلی خودکاری	-0/0322	-0/069	-0/0947	-0/1023	-0/4723	-0/1109	-0/0799	(BCG)
خیلی خودکاری	-0/0300	-0/1339	-0/2422	-0/1023	-0/0403	-0/0675	-0/1335	(BSD)
متوسط	-0/0075	-0/1098	-0/0771	-0/0542	-0/0403	-0/0675	-0/0799	(SDPC)
شدید	-0/0188	-0/0764	-0/0771	-0/0319	0/4619	-0/0304	-0/0404	(IA)
کم	-0/0339	-0/0764	-0/2422	-0/2724	1/0449	-0/2662	-0/4065	(MAG)

جدول ۱۱: طبقه‌بندی واحدهای کاری از لحاظ شدت فرسایش بادی

علام	شدت فرسایش بادی (EI)	طبقات شدت (CLASS)	
I	>+0/025	low	کم(ناچیز)
II	+0/025 - 0	moderate	متوسط
III	- - +0/025	intense	شدید
IV	< -0/025	very intense	خیلی شدید



شکل ۵ : پهنه بندی پتانسیل خطر فرسایش بادی در حوضه خضرآباد

بحث و نتیجه‌گیری

باشند یا طبقات امتیازدهی نمی‌توانند به صورت واقعی بیانگر عملکرد شاخص‌ها در فرسایش باشند. در عین حال در مدل تحلیل سلسله مراتبی فازی با لحاظ قضاوت‌های فازی تصمیم‌گیران در فرایند تصمیم‌گیری و همچنین اولویت‌بندی شاخص‌های موثر در فرایند فرسایش بادی بر مبنای مدل آنتروپی شانون و ارائه پهنه‌بندی بر مبنای این اولویت‌بندی، نتایج حاصله از دقت بالاتری برخوردار است. نتایج حاصله از کاربرد مدل سلسله مراتبی فازی نشان داد که واحدهای اراضی کشاورزی (PAG)، اراضی رسی لخت (BCG)، دشت سرآپاندراز لخت (BEP) و تپه‌های ماسه‌ای لخت (BSD) به ترتیب با کمترین ارزش کمی در معرض فرسایش بادی خیلی شدید قرار دارند. به طور کلی، بر اساس لایه نهایی ۱۳/۴۵ درصد از مساحت حوضه خضرآباد در معرض خطر زیاد (خیلی شدید) فرسایش بادی قرار دارد و با

ارزیابی خطر فرسایش بادی امروزه نقش مهمی را در مدیریت پایدار منابع طبیعی ایفا می‌کند. از این‌رو، به منظور تهیه نقشه پهنه‌بندی خطر فرسایش بادی از مدل تحلیلی سلسله مراتبی فازی استفاده شد. در این مدل، همانند مدل طبقه‌بندی رقومی (صادقی روش، ۱۳۹۲) انتخاب شاخص‌ها و طبقه‌بندی آنها در مقیاس واحد در ارتباط با معنی دار بودن پراکندگی رخساره فرسایش بادی که بیانگر مناطق تحت تأثیر است، در مقایسه با توزیع شاخص‌های موثر برآورد می‌شود. از این رو شاخص‌ها به صورت کاملاً محلی انتخاب و در واحدهای یکسان طبقه‌بندی شده و سپس با مطالعات میدانی ارزش هر شاخص در هر واحد کاری تعیین می‌شود. بنابراین، نتایج حاصله از این مدل دارای ضریب اطمینان بیشتری است، در حالی که در مدل‌های دیگر از جمله اریفر از آنجا که شاخص‌ها و طبقه‌بندی آنها به صورت پیش فرض تعیین شده لذا به نظر می‌رسد در بعضی مکانها یا شاخص‌ها در فرسایش نمی‌توانند موثر

- سپهر، ع.، اختصاصی، م. ر. و المدرسي، س. ع.، ۱۳۹۱. ایجاد سامانه شاخص‌های بیابانزایی بر اساس DPSIR (بهره گیری از روش فازی تاپسیس)، مجله جغرافیا و برنامه‌ریزی محیطی. سال ۲۳، پیاپی ۴۵، شماره ۱، ص ۵۰-۳۳.
- صادقی روش، م. ح.، ۱۳۸۷. بررسی عوامل تأثیرگذار بیابانزایی در تخریب محیط زیست، رساله دکتری رشته -محیط زیست، واحد علوم و تحقیقات تهران. دانشگاه آزاد، ۳۹۵ ص.
- صادقی روش، م. ح.، ۱۳۹۲. کاربرد مدل طبقه-بندی رقومی به منظور پنهان‌بندی پتانسیل خطر فرسایش بادی، مطالعه موردی: منطقه خضرآباد یزد، مجله پژوهش‌های خاک (علوم خاک و آب)، جلد ۲۷ شماره ۴، ص ۶۰۳-۵۹۳.
- قهروندی تالی، م.، ۱۳۸۳. کاربرد Arc View در ژئومرفولوژی. انتشارات جهاد دانشگاهی واحد تربیت معلم، ۲۷۴ ص.
- مرکز ملی بیابانزدایی، ۱۳۸۵. مطالعات شناسائی کانونهای بحرانی فرسایش بادی و تعیین اولویت‌های اجرایی استان یزد- شهرستان صدوق. گزارش طرح تحقیقاتی، انتشارات جهاد کشاورزی استان یزد، ۱۳۵ ص.

- Azarkar, S. M., Ahmadi, H., Khorasani, N. and Karami, M., 2006. Investigating the relationship between wind erosion and value of animal habitats in desert areas, Environment Science and Technology, v. 2(4), p. 387-393.
- Cebeci, U., 2009. Fuzzy AHP- based decision support system for selecting ERP system in textile industry by using balanced scorecard, journal of Expert System with Applications, v. 36, p. 8900-8909.
- Chang, D. Y., 1996. Application of the extent analysis method on fuzzy AHP,

مجموع طبقه شدید فرسایش بادی نزدیک به منابع

- احمدی، ح.، ۱۳۸۴. ژئومرفولوژی کاربردی، بیابان و فرسایش بادی (چاپ). انتشارات دانشگاه تهران، ۵۷۰ ص.
- اختصاصی، م. ر.، و احمدی، ح.، ۱۳۷۵. روش تجربی برآورد رسوب فرسایش بادی، دومین همایش ملی بیابانزایی و روشهای مختلف بیابانزدایی، معاونت آموزش و تحقیقات وزارت جهاد سازندگی، کرمان.
- اختصاصی، م. ر.، و احمدی، ح.، ۱۳۷۶. روش تجربی برآورد رسوب فرسایش بادی، مجله منابع طبیعی ایران، شماره ۵۱، ص ۲۵-۱۳.
- آذر، ع. و رجبزاده، ع.، ۱۳۸۱. تصمیم‌گیری کاربردی (رویکرد MADM)، انتشارات نگاه، ۱۸۶ ص.
- آذر، ع. و فرجی، ح.، ۱۳۸۱. علم مدیریت فازی. انتشارات اجتماع (دانشگاه تربیت مدرس)، ۱۳۰ ص.
- زهتابیان، غ. ر. و جوادی، م. ر.، ۱۳۸۶. بررسی اثرات فرسایش بادی روی افزایش شدت بیابانزایی و ارائه مدل منطقه‌ای بیابانزایی در حوضه ماهان، مجله پژوهش و سازندگی، شماره ۷۳، ص ۷۰-۶۵.

European journal of operational research, v. 95(3), p. 649-655.

- Cheepil, W. S., and Woodruff, N. P., 1954. Estimation of wind erodibility of field surfaces, journal of Soil and Water Conservation, v. 9(6), p. 256-265.
- Dagdeviren, M., Yavuz, S. and Kilinc, N., 2009. Weapon selection using the AHP and TOPSIS methods under fuzzy environment, journal of Expert Systems with Applications, v. 36, p. 8143-8151.
- Dagdeviren, M. and Yuksel, I., 2008. Developing an Analytical Hierarchy Process (AHP) model for behavior-based management, journal of

- Information Sciences, v.178, p. 1717-1733.
- Dong, Z., Wang, X. and Liu, L., 2000. Wind erosion in arid and semi-arid China: an overview, journal of Soil and Water Conservation, v. 55(2), p. 439-444.
- Jafari, M., Nasri, M., Shameli, M. H., Jafari, M. and Jafari. M., 2009. Management of saxaul-plot (*Haloxylon* sp.) lands in desert areas using GIS technique and field assessments (case study: Aran and Bidgol region, Iran), journal of Human and Social Sciences, v. 4(7), p. 524-532.
- Larrhoven, V. and Padrycz, W., 1983. A fuzzy extention of saaty's priority theory, journal of fuzzy sets and systems, v. 11(3), p. 229-241.
- Lillesand, T. M. and Kiefer, R. W., 2000. Remote sensing and image interpretation. John Wiley & Sons, 724 pages.
- Sadeghi Ravesch, M. H., Ahmadi, H., Zehtabian, G. R. and Rehayi Khoram, M., 2009. Development of the Numerical Taxonomy Model to Assess Desertification: An example of modeling intensity in central Iran, Journal of Philipp Agric Scientist, v. 92(2), p. 213- 227.
- Sadeghi Ravesch, M. H., Khosravi, H. and Ghasemian, S., 2014. Application of fuzzy analytical hierarchy process for assessment of combating-desertification alternatives in central Iran, Journal of Natural Hazards, DOI 10.1007/s11069-014-1345-7.
- Sepehr, A., Hassanli, A. M., Ekhtesasi, M. R. and Jamali, J. B., 2007. Quantitative assessment of desertification in South of Iran using MEDALUS method, Journal of Environmental Monitoring and Assessment, v. 134(2), p. 243-254.
- Sredjevic, B. and Medeiros, Y. D. P., 2008. Fuzzy AHP Assessment of Water Management Plans, journal of Water Resources Management. v. 22, p. 877-894.
- Woodruff, N. P. and Siddoway, F. H., 1965. A wind erosion equation, Soil Science Society of America Journal, v. 29(5), p. 602-608.
- Zhu, K. J., Jing, Y. and Chang, D.Y., 1999. Theory and Methodology, A discussion on extent analysis method and applications of fuzzy AHP, journal of European journal of operational research, v. 116, p. 450-456.